

ТЕПЛОБМЕН В ВИХРЕВОЙ ОБЛАСТИ ПРИ ПОПЕРЕЧНОМ ОБТЕКАНИИ ЦИЛИНДРА

А. И. Леонтьев, В. А. Рягин

(Новосибирск)

Делается попытка распространить аналитические методы теории пограничного слоя на расчет интенсивности теплоотдачи в зоне отрывных течений.

Предполагается, что на кормовой поверхности цилиндра, омываемой относительно стабильным возвратным вихревым течением, развивается слой, подчиняющийся закономерности теории пограничного слоя.

Также допускается, что существующий в вихре градиент скорости по нормали к поверхности не оказывает существенного влияния на развитие этого слоя.

Обозначения

- $d$  — диаметр цилиндра;
- $x$  — координата, отсчитываемая вдоль поверхности цилиндра от лобовой точки в кормовой области;
- $X = x/d$  — безразмерная координата;
- $\delta_{\tau}^{**}$  — толщина потери энергии;
- $\delta^{**}$  — толщина потери импульса;
- $\rho$  — плотность;
- $\nu$  — коэффициент кинематической вязкости;
- $W_{01}$  — скорость невозмущенного потока;
- $W_0$  — скорость на границе пристенного слоя;
- $f_d$  — безразмерный параметр вдува;
- $b_*$  — критическое значение теплового параметра проницаемости;
- $R$  — число Рейнольдса;
- $P$  — число Прандтля;
- $S$  — число Стентона;
- $R_z$  — критерии Рейнольдса построенные по соответствующим к скоростям потока и характерным линейным размерам;
- $T_0$  — температура на границе пограничного слоя;
- $T_w$  — температура стенки;
- $T''$  — температура вдуваемого газа;
- $i_w$  — плотность потока вдуваемого газа.

$$R_d = \frac{W_0 d}{\nu}, \quad R_{01} = \frac{W_{01} d}{\nu}, \quad R_{\tau}^{**} = \frac{W_0 \delta_{\tau}^{**}}{\nu}, \quad R^{**} = \frac{W_0 \delta^{**}}{\nu}$$

$$R_* = \frac{W_0 x}{\nu}, \quad i_w = \rho_w W_w, \quad f_d = \frac{i_w}{\rho W_{01}} \sqrt{R_{01}}$$

Аналитические методы расчета тепло- и массообмена, основанные на теории пограничного слоя, вообще говоря, справедливы только для безотрывных течений жидкости. Во многих практических случаях поверхность, занятая вихревой областью, имеет значительную протяженность. Однако в настоящее время не существует аналитических методов расчета трения и теплообмена в этих условиях.

Известно, что при поперечном обтекании цилиндра в кормовой части при достаточно больших числах Рейнольдса образуется вихревая область с относительно стабильными возвратными вихревыми течениями. В качестве первого приближения можно принять, что от этого течения на поверхности цилиндра нарастают свой тепловой и динамический пограничные слои, подчиняющиеся обычным закономерностям теории пограничного слоя (фиг. 1). Можно также предположить, что существующий в вихре градиент скорости по нормали к стенке не будет оказывать существенного влияния на развитие пограничного слоя. Скорость на внешней границе пограничного слоя можно определить по методике, изложенной в работе [5]. Результаты аналитических расчетов по поперечному обтеканию цилиндра достаточно хорошо описываются интерполяционной формулой

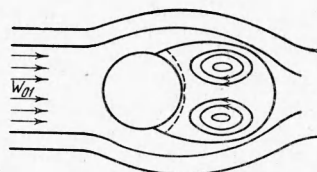
$$W_0 = A W_{01} \text{th} \alpha X \tag{1}$$

Здесь  $W_0$  — скорость на внешней границе пограничного слоя в кормовой области. Для случая обтекания круглого цилиндра  $A = 2.93$  и  $\alpha = 1.12$ . Уравнение теплового пограничного слоя запишем в виде

$$\frac{dR_{\tau}^{**}}{dX} + \frac{R_{\tau}^{**}}{\Delta \Gamma} \frac{d\Delta T}{dX} = \frac{1}{2} R_d S_0 \tag{2}$$

Принимая закон теплообмена в виде

$$S_0 = \frac{0.22}{P^{0.4} R_{\tau}^{**}}$$



Фиг. 1. Схема обтекания цилиндра

и учитывая (1) для случая  $q_w = \text{const}$ , получаем для

$$R_T^{**} = \sqrt{0.44} R_{0.1}^{0.5} P^{-2/3} \sqrt{X}$$

Отсюда

$$N = \sqrt{0.44 A \alpha} R_{0.1}^{0.5} P^{1/3} \left( \frac{\text{th } \alpha X}{\alpha X} \right)^{1/2} \quad (3)$$

Соответственно для случая  $T = \text{const}$  имеем

$$N = \sqrt{0.22 A \alpha} R_{0.1}^{0.5} P^{1/3} \frac{\text{th } \alpha X}{\sqrt{\ln \text{ch } \alpha X}}.$$

Для более общего случая, когда  $\Delta T = \Delta T_0 (1 + kX)^n$  ( $\Delta T = T_0 - T_w$ ) получаем

$$R_T^{**} = \sqrt{\frac{0.22 A}{\alpha}} \frac{R_{0.1}^{0.5} P^{-2/3}}{(1 + kx)^n} \left\{ \ln \text{ch } \alpha X + C_{2n} \frac{k}{\alpha} \sum_{i=1}^{\infty} \frac{2^{2i} (2^{2i} - 1) B_{2i}}{(2i + 1)(2i)!} (\alpha X)^{2i+1} + \dots \right.$$

$$\left. \dots + C_{2n}^{2n} \left( \frac{k}{\alpha} \right)^{2n} \sum_{i=1}^{\infty} \frac{2^{2i} (2^{2i} - 1) B_{2i}}{(2i + 2n)(2i)!} (\alpha X)^{2i+2n} \right\}^{1/2}$$

$$N = \sqrt{0.22 A \alpha} R_{0.1}^{0.5} P^{1/3} (1 + kX)^n \text{th } \alpha X \left\{ \ln \text{ch } \alpha X + \dots + C_{2n}^{2n} \left( \frac{k}{\alpha} \right)^{2n} \times \right.$$

$$\left. \times \sum_{i=1}^{\infty} \frac{2^{2i} (2^{2i} - 1) B_{2i}}{(2i + 2n)(2i)!} (\alpha X)^{2i+2n} \right\}^{-1/2}$$

Здесь  $\Xi$  — сходящийся ряд

$$\Xi = \sum_{i=1}^{\infty} \frac{2^{2i} (2^{2i} - 1) B_{2i}}{(2i + p)(2i)!} (dX)^{2i+2n} \quad (|X| < \pi, p > -1)$$

Можно ожидать, что на некотором расстоянии от лобовой точки ламинарный пограничный слой перейдет в турбулентный. По данным Гезли [6], этот переход должен произойти при значении  $R^{**} = 240$ . С учетом условий  $dp/dx = 0$  и  $P \approx 1$  нетрудно определить значение координаты  $X$ , соответствующее переходу ламинарного пограничного слоя в турбулентный. Для случая  $\Delta T = \text{const}$  имеем  $X_n = 1.09$  и  $X_n = 0.92$  для случая  $q_w = \text{const}$ .

Закон теплообмена для турбулентного пограничного слоя принимаем в виде

$$S = 1/2 B P^{-0.75} R_T^{*-m} \quad (4)$$

Тогда для случая  $T = \Delta T_0 [1 - k(X - X_0)]^n$  из уравнения (2) с учетом уравнения (4) имеем

$$(R_T^{**})^{1+m} = \frac{1}{[1 - k(x - x_0)]^n} \left\{ (R_{T_0}^{**})^{1+m} + \frac{R_{0.1}^{1/4} B P^{-0.75} (1 + m) A}{[n(1 + m) + 1] k} \times \right.$$

$$\left. \times [1 - \{1 - k(x - x_0)\}^{n(1+m)+1}] \right\}$$

$$N = P^{1/4} R_{0.1} A \frac{B}{2} [1 - k(x - x_0)]^{nm} \left\{ R_{T_0}^{** (1+m)} + \frac{R_{0.1}^{1/4} B P^{-0.75} (1 + m) A}{[n(1 + m) + 1] k} \times \right.$$

$$\left. \times [1 - \{1 - k(x - x_0)\}^{n(1+m)+1}] \right\}^{-\frac{m}{1+m}}$$

Аналогичный анализ можно провести и для случая поперечного обтекания пронизываемого цилиндра.

Уравнение теплового пограничного слоя для этих условий имеет вид [5]

$$\frac{dR_T^{**}}{dX} + \frac{R_T^{**}}{\Delta T} \frac{d(\Delta T)}{dX} = \frac{1}{2} R_d S_0 (\Psi_s + b) \quad \left( \Psi_s = \frac{S}{S_0}, b = \frac{j_w}{\rho W_0} \frac{1}{S_0} \right) \quad (5)$$

Здесь  $\Psi_s$  — относительный критерий Стентона,  $b$  — тепловой параметр пронизываемости.

Из теплового баланса следует

$$\Psi_s = k_1 b, \quad \left( k_1 = \frac{T - T_w}{T_0 - T_w} \right).$$

Для случая  $j_w = \text{const}$ ,  $T_w = \text{const}$  и  $T_0 = \text{const}$  из уравнения (5) получаем

$$R_T^{**} = \frac{1}{2} R_d a_0 (k_1 + 1) X \quad \left( a_0 = \frac{j_w}{\rho W_0} \right)$$

Так как  $S = \Psi_s S_0$ , а  $S_0 = 0.22 R_T^{*-1} P^{-4/3}$ , то

$$S = \sqrt{0.22} R_*^{-0.5} P^{-2/3} \frac{\Psi_s}{(\Psi_s + b)^{1/2}}$$

Принимаем во внимание, что  $\sqrt{0.22} P^{-2/3} \cdot R_*^{-0.5} = S_0$  при  $q_w = \text{const}$ , получаем

$$\Psi_{R_*} = \left( \frac{S}{S_0} \right)_{R_*} = \frac{\Psi_s}{(\Psi_s + b)^{1/2}}$$

С другой стороны,  $\Psi_{R_*} = k^1 b'$ , тогда (6)

$$k_1 b_T' = \frac{k_1 b}{(\Psi_s + b)^{1/2}} \left( \Psi_{R_*} = \left( \frac{S}{S_0} \right)_{R_*} \right), \quad b' = \frac{j_w}{\rho W_0} \frac{1}{S_0}$$

Здесь  $\Psi_{R_*}$  — отношение критериев Стентона при  $R_* = \text{idem}$ .

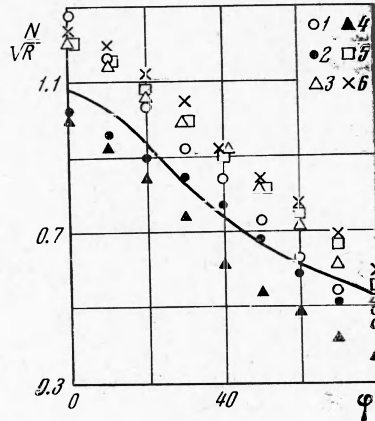
Для ламинарного пограничного слоя, согласно работе Эккерта и др. [7], имеем

$$\Psi_{R_*} = 1 - b' / b_k' \quad (7)$$

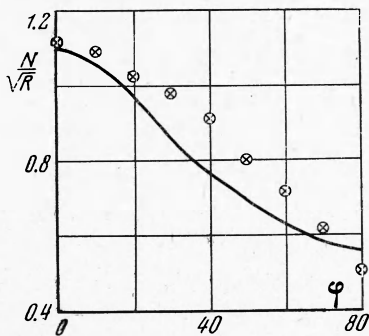
С учетом уравнений (6) и (7) можно получить формулу

$$N = N_{0q_w} \left[ 1 + \frac{P^{2/3} f_d}{\sqrt{0.44 A \alpha}} \left( \frac{\alpha X}{\text{th } \alpha X} \right)^{1/2} \left( 1 - \frac{1}{b_k'} \right) \right]^{-1} \quad (q_w = \text{const}) \quad (8)$$

На фиг. 2—4 приводится сопоставление полученных аналитических зависимостей с опытными данными различных авторов. На фиг. 2 показано распределение локальных значений критериев Нуссельта по кормовой области поперечно обтекаемого цилиндра с непроницаемой поверхностью. Сплошная кривая соответствует расчету по уравнению

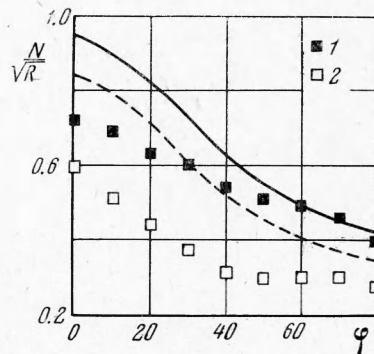


Фиг. 2. Сопоставление расчетов по формуле (3) с экспериментальными данными (непроницаемый цилиндр). Опыты Кружилина [1]: 1 —  $R = 3.51 \cdot 10^4$ , 2 —  $R = 1.4 \cdot 10^4$ ; опыты Шмидта и Веннера [2]: 3 —  $R = 1.01 \cdot 10^5$ , 4 —  $R = 3.98 \cdot 10^4$ ; опыты Джонсона и Гартнетта [3]: 5 —  $R = 1.01 \cdot 10^5$ ; опыты Эккерта и др. [4]: 6 —  $R = 1.3 \cdot 10^5$



Фиг. 3

Фиг. 3. Сопоставление формулы (8) с опытами Эккерта и др. (вдуваемый агент — гелий),  $f_d = 0.08$



Фиг. 4

Фиг. 4. Сопоставление формулы (8) с опытами Джонсона и Гартнетта (вдувался воздух): сплошная кривая и точки 1 для  $f_d = 0.808$ , пунктирная кривая и точки 2 для  $f_d = 1.808$

(3). Как видно из графика, опытные точки различных авторов группируются около аналитической кривой практически во всей кормовой области. Аналогичные результаты получаются и при обтекании цилиндра с проницаемой поверхностью при вдуве гелия

(фиг. 3). Менее удовлетворительные результаты получаются при сопоставлении формулы (8) с опытами работы [3] при вдуве воздуха (фиг. 4), причем расхождение с аналитическим решением тем больше, чем больше вдув газа. Возможно, в этом случае необходимо учитывать влияние вдува газа на распределение скоростей в вихре. Проведенный анализ показывает, что методы теории пограничного слоя можно достаточно эффективно использовать и при расчетах теплообмена в вихревой области.

Поступила 14 X 1965

#### ЛИТЕРАТУРА

1. К р у ж и л и н Г. Н. Теплоотдача круглого цилиндра в поперечном потоке воздуха. Ж. техн. физ., 1938, т. 8, № 2.
2. Ш л и х т и н г Г. Теория пограничного слоя. Изд. иностр. лит., 1956.
3. Д ж о н с о н Б. В., Г а р т н е т т Дж. П. Теплоотдача на цилиндре со вдувом, обтекаемым в поперечном направлении. Теплопередача, 1963, № 2.
4. Т ь ю ф и к О. Э., Э к к е р т Э. Р. Дж., Ю р е в и ч Л. С. Влияние термодиффузии на теплоотдачу при поперечном обтекании цилиндра. Ракетная техника и космонавтика, 1963, т. 1, № 7.
5. Сб. «Теплообмен и трение в турбулентном пограничном слое» (под ред. С. С. Кутателадзе), Изд-во СО АН СССР, 1964.
6. Э к к е р т Э. Р. Дж., Х е й д е й А. А., Л и н к о в и ч В. К. Теплообмен, температура восстановления и поверхностное трение на плоской пластине с подачей водорода в ламинарный пограничный слой. Сб. «Тепло- и массоперенос», т. 3. (под ред. Лыкова А. В., Смольского Б. М.), Госэнергоиздат, 1963.
6. Л и н ь Ц з я - Ц з я о. Теория гидродинамической устойчивости. Изд. иностр. лит., 1958.

#### О ТЕРМОБУРЕНИИ

*Г. П. Черепанов (Москва)*

Одним из перспективных способов проходки скважин, особенно при бурении прочных пород, является способ воздействия высокотемпературной струи газа на породу. В местах интенсивного нагрева происходит разрушение породы под действием температурных напряжений. При этом наиболее эффективным режимом термобурения, очевидно, будет такой режим, при котором происходит хрупкое разрушение (раздробление) породы на мелкие куски и порода не оплавляется.

Ниже предлагаются постановка и решение задачи термобурения в предположении, что порода — упругая и оплавление отсутствует. Выражения для скорости стационарного бурения и размера частиц разрушенного материала получены в простом замкнутом виде.

§ 1. *Постановка задачи.* Представим себе неограниченное однородное и изотропное упругое тело с осесимметричной полостью в виде полубесконечного цилиндра с закругленным основанием (фигура). На дно полости направлена высокотемпературная струя газа, исходящая из некоторого резервуара с соплом  $A$ . Под действием разогрева в теле возникают термоупругие напряжения, подчиняющиеся закону Дюгамеля — Неймана [1]. Внешние нагрузки считаем пренебрежимо малыми сравнительно с характерными температурными напряжениями. При достаточно больших внутренних напряжениях происходит разрушение приповерхностной области тела и частицы разрушенного материала уносятся потоком струи газа. Разрушение тела считается хрупким, а оплавление отсутствующим. Эти условия налагают некоторые ограничения на температурный режим чисто хрупкого разрушения.

Примем следующее основное предположение:

$$\kappa/vd \ll 1 \quad (\kappa = k/\rho c) \quad (1.1)$$

Здесь  $\kappa$  — температуропроводность,  $k$  — теплопроводность,  $\rho$  — плотность,  $c$  — теплоемкость,  $d$  — характерный линейный размер тела (например, радиус кривизны закругления или же радиус цилиндра),  $v$  — нормальная скорость бурения, т. е. скорость перемещения граничной поверхности тела (в результате удаления разрушенного материала) по нормали к поверхности.

Предположение (1.1) означает, что поле внешней температуры в каждой точке границы тела проникает на глубину, малую сравнительно с характерным линейным размером участка границы, подвергающегося интенсивному нагреву. Выполнимость условия (1.1) обеспечивается весьма малыми значениями температуропроводности для большинства прочных скальных пород. Приняв, например,  $d \sim 10$  см и учитывая реальные значения  $\kappa$  для горных пород  $\kappa = 10^{-3} \div 10^{-2}$  см<sup>2</sup>/сек, из условия (1.1) получаем следующее ограничение скорости бурения:  $v \gg 10^{-4} \div 10^{-3}$  см/сек. Имея в виду средние скорости проходки скважин, это условие следует считать не слишком обременительным (тем более для больших скоростей).